

استخدام نماذج الـ GARCH متعددة المتغيرات من نوع DCC  
الارتباط الشرطي الحركي) ومن نوع CCC (الارتباط الشرطي  
الثابت) للتنبؤ بسعر الصرف للدينار العراقي مقابل الدولار

أ.م.د. فارس طاهر حسن / كلية الادارة والاقتصاد / جامعة بغداد  
م. ملياء طه عبد الله / كلية الآداب / جامعة بغداد

تاریخ التقديم: 2017/4/4  
تاریخ القبول: 2017/10/31

### المستخلص

تأخذ نماذج GARCH متعددة المتغيرات عدة اشكال ومن أهمها ، نموذج الارتباط الشرطي الحركي والذي يرمز له ( DCC ) ونموذج الارتباط الشرطي الثابت والذي يرمز له (CCC) وان الهدف الرئيسي من هذا البحث هو المقارنة بين كلا النماذجين والوقوف على خصائص ومميزات كل نموذج ، وقد تم تطبيق النماذج أعلاه باستخدام ثلاث سلاسل زمنية مالية والتي تتمثل بسلسلة سعر صرف الدينار العراقي اليومي بالدولار وسعر النفط اليومي العالمي بالدولار وسعر الذهب اليومي العالمي بالدولار وللفترة من 2014/1/1 ولغاية 2016/1/1 ، وقد تم تحويل السلاسل الزمنية الثلاث الى سلاسل عوائد للحصول على الاستقرارية وتم اجراء بعض الاختبارات منها Multivariate ARCH، JarqueBera ، Ljung-Box على سلاسل العوائد وسلاسل الباقي لكلا النماذجين مع المقارنة في التقدير والتنبؤ بين النماذجين على اساس المعيارين متوسط مطلق الخطأ ومتوسط مربعات الخطأ MSE و MAE على التوالي ومقارنة مدى ملائمة هذين النماذجين لطبيعة البيانات والقدرة على احتواء التقلبات وقد تبين من خلال البحث ان افضل نموذج كان هو النموذج CCC حيث كان يمتلك اقل مجموع مربعات للأخطاء من نموذج DCC.

**المصطلحات الرئيسية للبحث :** نماذج GARCH متعددة المتغيرات ، نموذج الارتباط الشرطي الحركي CCC ، نموذج الارتباط الشرطي الثابت .





## 1-1 المقدمة

ان السلاسل الزمنية المالية تعاني من عدم التجانس في التباين وكذلك ظاهرة التقلبات المتعنقة وتكون في بعض الفترات اكثراً تقلباً من فترات أخرى تبعاً للمشاكل والأحداث غير المتوقعة، حيث تمكّن رواد نماذج الانحدار الذاتي الشرطي غير متجانس التباين المعمم Generalized Autoregressive Conditional Heteroscedasticity Models والتي تكتب اختصاراً GARCH من تقدير التقلب في السلاسل الزمنية وأثبتوا ان هناك امكانية لاحتواء التقلب المتعنقد والتنبؤ بالتقابلات في المستقبل عن طريق هذه النماذج.

تفتقر موصفات نموذج متعدد المتغيرات بعدم ثبات التباين Multivariate GARCH والذي يرمز له بالرمز MGARCH اولاً ان تكون له مرونة كافية في حالة تذبذب التباين والتباين المشترك الشرطي ، وثانياً ان تكون عدد المعالم في هذا النموذج الذي يزداد سريعاً وفقاً الى بعد النموذج (عدد المتغيرات) لها صفة أقل عدد ممكّن من المعالم وذلك لتبسيط تقدير النموذج وكذلك للحصول على تفسيرات سهلة لمعامل النموذج وتسماً هذه الخاصية بـ Parsimony (اي تقليل عدد المعالم)، حيث ان التذبذبات المعقولة في مصفوفة التباين المشترك لا يمكن احتوائها بشكل كامل ، ومن المهم الحصول على توازن بين عدد المعالم القليلة والمرونة عند تصميم موصفات نموذج MGARCH ، وثالثاً ان تكون هناك ميزة اخرى لنماذج MGARCH متعددة المتغيرات يجب تحقيقها وهي ان تكون مصفوفة التباين المشترك معرفة موجبة. ان نماذج الارتباط الشرطي الحركي DCC والارتباط الشرطي الثابت نموذج CCC تمثل تراكيب غير الخطية لنماذج GARCH احادي المتغير

## 1-2 هدف البحث

دراسة نماذج السلاسل الزمنية متعددة المتغيرات بعدم ثبات التباين المعمم اي نماذج MGARCH باستخدام نموذج DCC ونموذج CCC وهي تمثل التراكيب غير الخطية لنماذج GARCH احادي المتغير، والمقارنة بين النموذجين مع التنبؤ من ثم تطبيق النموذجين باستخدام ثلاثة سلاسل زمنية مالية والتي تتمنى بسلسلة سعر صرف الدينار العراقي اليومي بالدولار وسعر النفط العالمي اليومي بالدولار وسعر الذهب العالمي بالدولار.

## 1-3 مشكلة البحث

وجود مجموعة متغيرات والتي تمثل سعر صرف الدينار العراقي اليومي بالدولار وسعر النفط العالمي اليومي بالدولار وسعر الذهب العالمي اليومي بالدولار والتي تعاني من مشكلة عدم ثبات التباين ولغرض دراسة هذه المتغيرات مجتمعة مع بعضها استوجب استخداماً لأسلوب MGARCH باستخدام نموذجي DCC، ونموذج CCC والتي تمثل التراكيب غير الخطية لنماذج GARCH احادي المتغير مع المقارنة بين النموذجين.

## 1-4 الاستعراض المرجعي

اقتصر كل من الباحثين YiuKuen TSE Albert K.C.TSUI, في عام 2002 نموذج MGARCH متعدد متغيرات مع ارتباطات مختلفة بالزمن من خلال بحثهما " A Multivariate Generalized Autoregressive Conditional Heteroscedasticity Model With Time Varying Correlation" تبني فيه الباحثان تمثيل متوجه Vech (Vector GARCH) حيث استندتا فيه على التباينات الشرطية والارتباطات الشرطية حيث ان كل حد تباين شرطي يفترض انه يتبع صيغة GARCH احادي المتغير ، اما مصفوفة الارتباط الشرطي فإنها تتبع انحدار ذاتي متواترات متحركة من النوع التناهري ، كما سجل الباحثان بعض نتائج مونت كارلو على توزيعات عينة محدودة وكذلك على تقديرات الامكان الاعظم لنموذج MGARCH متعدد متغيرات بارتباطات مختلفة ، وتمت مقارنة النموذج الجديد مع نموذج الذي يرمز بالرمز (BEKK) نسبة الى أسماء العلماء الذين أوجدوه ( Baba , Engle , Kraft , Kroner ) نموذج CC-GARCH نموذج الارتباط الثابت (Constant Correlation) وكانت المقارنة ملائمة مع نموذج (BEKK) وغير ملائمة مع نموذج CC-GARCH<sup>[4]</sup>.



وفي العام نفسه قدم الباحثون Christian Francq , Lajos Horvath, Jean – Michel Zakarian " Variance Targeting Estimation of Multivariate GARCH Modes" حيث تم ايجاد مقدر استهداف التباين الذي يرمز له (VTE) لمعالم عمليات الارتباط الشرطي الثابت CCC-GARCH (p,q) متعددة المتغيرات، واثبتوه انه مقدر متsequ قوي ذو تقارب طبيعي كفؤ والذي يرمز له (CAN) ، ان هذه الطريقة تخفف الصعوبات العددية التي تحدث من خلال تعظيم دالة الامكان ظاهريا باستخدام مقدر التباين غير الشرطي وهو مقدر متsequ و ذلك باستخدام تقنية تمهيد البوافي وكذلك تم استخدام مقدر استهداف التباين في اختبار مدى ملائمة النموذج ، وتم بناء احصاء الاختبار حيث استقت خصائصها التقاريبية تحت افتراض عدم ملائمة النموذج المحدد جيداً<sup>[3]</sup>.

كما قدم كل من Sebastien and Jeroen V.K. Rombouts Lubbauwens في عام 2006 بحثاً بعنوان "Multivariate GARCH Models : A Survey" حيث اعتبروا ان الهدف الرئيس من البحث هو استعراض نماذج MGARCH ، وقد توصل الباحثون ان نماذج الارتباط الشرطي الحركي لها ثبات مختلفين التباينات والارتباطات ولكن مع فرض ثبات محدد ومعرف في النهاية ، وهي امتداد لنماذج الارتباط الشرطي الثابت CCC والتي يكون سهل التقدير كما استنتاج الباحثون ان الحصول على نماذج مرنة وقليلة المعالم سوف يكون بواسطة فرض القيود<sup>[1]</sup>

وفي عام 2009 قدم الباحثان Hafner and Franses بحثاً بعنوان "AGeneralized Dynamic Conditional Correlation Model : Simulation and Application to many Assets" ، حيث وضع الباحثان التعميم لنماذج الارتباط الشرطي الحركي DCC لـ Engle(2002) واقتراحا طرفيتين للتقدير ، واحدة مستندة على تعظيم الامكان التام والاخرى على تقديرات الارتباط الفردي وتم الاستنتاج بان نموذج الارتباط الشرطي الحركي المعتم GDCC يحسن نموذج DCC وكذلك نموذج الارتباط الشرطي الثابت CCC لـ Bollerslev (1990)<sup>[9]</sup>.

في عام 2012 قدم الباحث Mustafa Murat Kubilay اطروحة ماجستير الى مدرسة المتخرجين للرياضيات التطبيقية في الجامعة التقنية في الشرق الاوسط بحثاً بعنوان "The Volatility Spillover Among Country's Foreign exchange , Bound and Stock Markets A Multivariate GARCH analysis" بهدف اختبار امتداد التقلب بين اسواق الوراق المالية واسواق السند والتداول للعملات الأجنبية وانتقال التقلب من اسواق البضاعة والاوراق المالية والسند الى الاسواق المالية المحلية وتم تطبيق نموذج BEKK وتضمنت عينة البحث كلا من الاقتصادات المتطرفة والناشئة واستنتاج الباحث ان تكميل التقلب للأسواق المالية للاقتصادات الناشئة هو اقوى مقارنة الى تكميل الاقتصادات المتطرفة<sup>[6]</sup>.

كما قدم الباحث Marek KlausBC في عام 2012 اطروحة ماجستير الى جامعة براغ ، بحثاً بعنوان " Multivariate Dependence Modeling using Copulas " حيث اقترح الباحث نموذج Copula- based – DCC- GARCH لكي يقدرشكل منفصل وفي ان واحد كل من الارتباط الشرطي بواسطة نموذج MGARCH والاعتمادية بواسطة نموذج Copulas ، النموذج تم تقديره بواسطة تقدير الامكان الاعظم متعدد المراحل ، وتمت مقارنة اداء نموذج الارتباط الشرطي الحركي-DCC ونموذج MGARCH Copula-MGARCH تبين ان اداء نماذج Copula مع توزيع Gaussian كالاهما ينتج معيار معلومات افضل من نموذج DCC وان النموذج مع – Copula او Gumbel Copula based MGARCH DCC- DCC-MGARCH وان النموذج مع Copula يوضح بناء الاعتمادية الكلية بين المتغيرات العشوائية في نمذجة متعدد المتغيرات<sup>[8]</sup>



وفي عام 2016 قدم الباحثان Matthias Raddant Friedrich Wagnest بحثاً بعنوان "Multivariate GARCH for a large number of stocks" حيث تمت مناقشة المشكلة الخاصة بتطبيقات نماذج GARCH متعددة المتغيرات مع العدد الكبير من أسواق رأس المال والتي يتم حلها بواسطة تقييد مصفوفة التباين المشتركة الشرطية والتي تتكون من مركبة لوصف السوق والمركبة الثانية لحساب المساهمة المتباعدة للتقلب ، وتمت مقارنة النموذج مع نتائج لنموذج GARCH لعوائد يومية من سوق المسمى S&P500 واتضح أن مواصفات مصفوفة التباين المشتركة تتشبه مواصفات نموذج الارتباط الشرطي الحركي DCC ولكن بعد أقل من المعلم [9].

## 2- الجانب النظري

**1- نماذج GARCH متعددة المتغيرات** Multivariate GARCH Models  
تعرف نماذج GARCH متعددة المتغيرات كما في الحال المفردة بواسطة العزم الشرطي الاول والثاني ، ان العمليّة  $(\epsilon_t)$  من نوع GARCH ذات القيم الحقيقية بالبعد  $M \in \mathbb{R}^m$  ، وهي

$$\epsilon_t = (\epsilon_{1t}, \dots, \epsilon_{mt})^T \quad t \in \mathbb{Z}$$

$$\begin{cases} E(\epsilon_t / \epsilon_u, u < t) = 0 \\ var(\epsilon_t / \epsilon_u, u < t) = E(\epsilon_t \epsilon'_t / \epsilon_u, u < t) = H_t \end{cases} \dots \quad (1)$$

ولغرض التوسيع الى حالة متعدد المتغيرات حسب مفهوم عملية GARCH التامة وذلك بالاستناد على المعادلة الآتية [2]:

$$\epsilon_t = H_t^{1/2} \eta_t \quad \dots \quad (2)$$

حيث ان  $\eta_t$  هي متسلسلة لـ iid  $\mathbb{R}^m$  من المتغيرات بمتوسط صفر ومصفوفة تباين مشتركة متماثلة (مصفوفة وحدة) ، المصفوفة  $H_t^{1/2}$  متماثلة ومعرفة موجبة وكذلك يمكن ان تكون مثلثية مع عناصر قطرية موجبة .

في حالة اختيار المصفوفة  $H_t^{1/2}$  مثلثية سفلی فان اول مركبة  $\eta_t$  تعتمد فقط على اول مركبة  $\eta_t$  وعندها  $m=2$  سيكون

$$\begin{cases} \epsilon_{1t} = h_{11,t}^{1/2} \eta_{1t} \\ \epsilon_{2t} = \frac{h_{12,t}}{h_{11,t}^{1/2}} \eta_{1t} + \left( \frac{h_{11,t} h_{22,t} - h_{12,t}^2}{h_{11,t}} \right)^{1/2} \eta_{2t} \end{cases} \dots \quad (3)$$

حيث ان  $\eta_t$  و  $h_{ij,t}$  هي العناصر الى  $\eta_t$  و  $H_t$  على التوالي.  
ان اختيار مواصفات  $H_t$  اكثراً دقة عن الاطار العام لحادي المتغير وذلك لأن  $H_t$  يجب ان تكون غالباً مؤكدة تتصف بما يأتي [2]:

أولاً متماثلة ومعرفة موجبة لجميع قيم  $t$  ثانياً ان تكون مواصفاتها بسيطة وقابلة للدراسة الاحتمالية (وجود حلول مستقرة) ، حيث تكون العمومية الكافية

ثالثاً ان تكون قليلة المعلم لإمكانية التقدير العملي والنماذج يجب ان يكون بسيط لكي يتم احتواء الحركات في مصفوفة التباين المشتركة وايضاً يكون مفيد عندما تكون له خاصية الاستقرار(الثبات) بالتجميع.  
وإذا كانت  $\epsilon_t$  تتحقق المعادلة (2) فالعمليّة  $\tilde{\epsilon}_t$  والمعرفة بواسطة  $\tilde{\epsilon}_t = P \epsilon_t$  حيث  $P$  هي مصفوفة مربعة قابلة للعكس فان [2] :

$$E(\tilde{\epsilon}_t / \tilde{\epsilon}_u, u < t) = 0 , \quad Var(\tilde{\epsilon}_t / \tilde{\epsilon}_u, u < t) = \tilde{H}_t = P H_t P' \quad (4)$$



استخدام نماذج GARCH متعددة المتغيرات من نوع DCC [الارتباط الشرطي الحركي] ونمودج CCC [الارتباط الشرطي الثابت] للتنبؤ بسعر الصرف للدينار العراقي مقابل الدولار

1-1-نماذج الارتباط الشرطية الثابتة CONSTANT CONDITIONAL CORRELATIONS MODELS CCC  
في عملية GARCH متعدد المتغيرات المعادلة(2) ، فان المتغيرات  $\epsilon_{t,t-i}$  تمثل القيم السابقة لحدود الخطأ  $\epsilon_t$  وهي ضمن المتغير  $h_{kk,t}$  وان<sup>[2]</sup>:

$$Eh_{kk,t} = E\epsilon_{kt}^2$$

$$\hat{\eta}_{kt} = h_{kk,t}^{-1/2} \epsilon_{kt}$$

ولكل قيم  $k$  فان السلسلة (iid) من المتغيرات بمتوسط صفر وتبين واحد والمتغيرات  $\hat{\eta}_{kt}$  تكون مرتبطة<sup>[2]</sup> وان<sup>[2]</sup>:

$$R = Var(\hat{\eta}_t) = (\rho_{kt})$$

حيث ان

$$\hat{\eta}_t = (\hat{\eta}_{1t}, \dots, \hat{\eta}_{mt})'$$

فالتبين الشرطي

$$\epsilon_t = diag(h_{11,t}^{1/2}, \dots, h_{mm,t}^{1/2}) \hat{\eta}_t$$

وتكون الصيغة السابقة بالشكل الاتي<sup>[3]</sup>:

$$H_t = diag(h_{11,t}^{1/2}, \dots, h_{mm,t}^{1/2}) R diag(h_{11,t}^{1/2}, \dots, h_{mm,t}^{1/2}) \dots (5)$$

وان الارتباطات الشرطية بين مركبات  $\epsilon_t$  تكون ثابتة في الزمن<sup>[2]</sup>

$$\frac{h_{kl,t}}{h_{kk,t}^{1/2} h_{ll,t}^{1/2}} = \frac{E(\epsilon_{kt}\epsilon_{lt}/\epsilon_u | u < t)}{[E(\epsilon_{kt}^2/\epsilon_u, u < t)E(\epsilon_{lt}^2/\epsilon_u, u < t)]^{1/2}} = \rho_{kl}$$

حيث ان  $-1 \leq \rho_{kl} \leq 1$  ،  $\rho_{kk} = 1$

ان نماذج الارتباطات الشرطية الثابتة البسيطة (CCC) تعتمد على مواصفات GARCH احادي المتغير.

$$h_{kk,t} = \omega_k + \sum_{i=1}^q a_{k,i} \epsilon_{k,t-i}^2 + \sum_{j=1}^p b_{k,j} h_{kk,t-j} , k = 1 \dots m \dots (6)$$

حيث ان  $\omega_k > 0$  ،  $a_{k,i} \geq 0$  ،  $b_{k,j} \geq 0$

وان  $R$  متماثلة موجبة شبه معرفة (positive semi definite)، وان التباينات الشرطية محددة كما في النموذج القطري<sup>[2]</sup>

في الاطار العام لمتعدد المتغيرات ، يكون التوسيع في مواصفات المعادلة (6) وذلك يجعل  $h_{kk,t}$  تعتمد ليس فقط على القيم السابقة الخاصة بها ولكن ايضا تعتمد على القيم السابقة لجميع المتغيرات  $\epsilon_{k,l}$ .

$$\underline{h}_t = \begin{pmatrix} h_{11,t} \\ \vdots \\ h_{mm,t} \end{pmatrix} , D_t = \begin{bmatrix} \sqrt{h_{11,t}} & 0 & \cdots & 0 \\ 0 & \ddots & & \vdots \\ \vdots & & \ddots & \\ 0 & \cdots & & \sqrt{h_{mm,t}} \end{bmatrix} , \epsilon = \begin{pmatrix} \epsilon_{1t}^2 \\ \vdots \\ \epsilon_{mt}^2 \end{pmatrix}$$



استخدام نماذج GARCH متعددة المتغيرات من نوع DCC [الارتباط الشرطي الحركي] ونمودج CCC [الارتباط الشرطي الثابت] للتنبؤ بسعر الصرف للدينار العراقي مقابل الدولار

### عملية CCC-GARCH(p,q) process CCC- GARCH (p,q)

لتكن  $(\eta_t)$  سلسلة (iid) من المتغيرات و بتوزيع  $\eta$  فالعملية  $\epsilon_t$  تسمى CCC- GARCH اذا تحقق ما يأتي:

$$\begin{cases} \epsilon_t = H_t^{1/2} \eta_t \\ H_t = D_t R D_t \\ h_t = \omega + \sum_{i=1}^q A_i \epsilon_{t-i} + \sum_{j=1}^p B_j h_{t-j} \end{cases} \dots (7)$$

حيث ان  $R$  هي مصفوفة ارتباط ،  $\omega$  هي متجه  $1 \times m$  بمعاملات موجبة ،  $A$  و  $B$  مصفوفتان  $m \times m$  وبمعاملات غير سالبة (Nonnegative) <sup>[3]</sup>

$$\epsilon_t = D_t \hat{\eta}_t$$

حيث ان  $\hat{\eta}_t = R^{1/2} \eta_t$  متجه مركزي لمصفوفة التباين المشترك  $R$  والتباين الشرطي  $h_{kk,t}$  يعتمد على القيم السابقة لكل مركبات  $\epsilon_t$  حيث تأخذ الصيغة الآتية :

$$\epsilon_{kt} = h_{kk,t}^{1/2} \hat{\eta}_{kt}$$

ويشكل عام ، ان التباين المشترك الشرطي هو دالة غير خطية لمركبات  $\epsilon_{t-i}$  والقيم السابقة لمركبات  $H_t$  ، نموذج CCC محدد بقيدين الاول هو غير ثابت بالتجميع والثاني الطبيعة الاعتباطية لافتراض الارتباطات الشرطية الثابتة <sup>[2]</sup>.

### 2-1 نماذج الارتباطات الشرطية الحركية Dynamic Conditional Correlation Models

ان نماذج الارتباطات الشرطية الحركية التي يرمز لها DCC هي امتداد لـ CCC- GARCH والمصفوفة  $R$  في المعادلة (7) ستستبدل بالمصفوفة  $R_t$  وهي قابلة للقياس نسبة الى القيم السابقة للمتغيرات  $(\epsilon_u, u < t)$  ، ولاسباب متعلقة بتقليل عدد المعلم ، يكون اختيار المصفوفتين  $A$  و  $B$  قطرتين في المعادلة (7) المقابلة الى نماذج GARCH احادي المتغير لكل مركبة كما في المعادلة (6)، ان نماذج DCC المختلفة يتم الحصول عليها من مواصفات  $R_t$  والصيغة المبسطة لها هي <sup>[11]</sup>:

$$R_t = \theta_1 R + \theta_2 \Psi_{t-1} + \theta_3 R_{t-1} \dots (8)$$

حيث ان  $R$  تمثل مصفوفة الارتباط الثابت  $R_t$  تمثل مصفوفة الارتباط المختلف زمنيا ،  $\theta_2$  تمثل  $\alpha$  ،  $\theta_3$  تمثل  $\beta$  ، وهناك طريقة اخرى في تحديد الحركات لـ  $R_t$  وحسب الصيغة الآتية <sup>[11]</sup>:

$$R_t = (\text{diag } Q_t)^{-1/2} Q_t (\text{diag } Q_t)^{-1/2}$$

حيث ان  $\text{diag } Q_t$  هي مصفوفة قطرية بعناصر قطرية  $Q_t$  وان  $Q_t$  هي سلسلة من مصفوفات التباين المشترك وهي قابلة للقياس نسبة الى  $(\epsilon_u, u < t)$ . <sup>[11]</sup>

$$Q_t = \theta_1 Q + \theta_2 \epsilon_{t-1} \epsilon_{t-1}' + \theta_3 Q_{t-1} \dots (9)$$



حيث ان  $Q$  مصفوفة التباين المشترك، وهذه الصيغة شبيه بنموذج GARCH(1,1). وان كل من المعادلتين،(9) و(8) تسمح باختبار افتراض ان مصفوفة التباين المشترك الشرطي ثابتة وباعتبارقيود  $\theta_2 = \theta_3 = 0$  ، ومن الملاحظ ان نفس المعاملات لـ  $\theta_2, \theta_3$  تظهر في الارتباطات الشرطية المختلفة والتي لها حركات متشابهة، حيث ان المصفوفتين  $Q, R$  هي غالبا ماتكون مقدرة وتستبدل بمصفوفات الارتباط التجربى (Empirical Correlation And Covariance Matrices) على التوالي ، ومن ذلك فان نموذج DCC المعادلتين (8), (9) يكون اكثرا بمعلمتين من نموذج CCC<sup>[2]</sup>.

## 2-التقدير Estimation

### 1-2 دالة الامكان Like lihood Function

نفرض ان موجه العملية التصادفية  $y_t = (1, \dots, T)$  هو عدد حقيقي من عملية توليد البيانات (DGP) والذى موجه وسطه الحسابي ومصفوفة تباينه الشرطي والتوزيع الشرطي هي  $P(y_t | \zeta, I_{t-1}, H_t(\theta_0, \mu_t))$  على التوالي حيث ان  $\theta_0, \eta_0, \zeta$  هو موجه معلمة ذو بعد  $r$  وان  $\eta_0$  هو موجه معلم توزيع الاخطاء  $z_t$  ، ولغرض اجراء التقدير، س يتم فرض صيغ للوسط الحسابي  $H_t(\theta_0, \mu_t)$  والتباين  $L_T(\theta, \eta)$  للنموذج المراد تقاديره<sup>[1]</sup>.  
ان هذا الاجراء يستخدم في تقدير  $\theta_0$  ، ويتضمن تعظيم دالة الامكان مبني على الافتراض الاضافي المساعد للتوزيع (iid) الاخطاء القياسية  $(z_t)$  ، دالة الامكان في حالة (iid) ستبدو كدالة امكان ظاهريا<sup>[1]</sup>.

سوف يتم افتراض اضافي على عملية الاخطاء باختيار دالة كثافة يرمز لها  $g(z_t | \theta)$  ، حيث ان  $\eta$  هو موجه لمعالم ضوضاء (Nuisance) ، لذلك فأن تعظيم دالة لوغاريتم الامكان للعينة  $L_T(\theta, \eta)$  لـ  $T$  من المشاهدات (مشروط من بداية بعض قيم  $H_0, \mu_0$ ) بالنسبة الى موجه المعلم  $(\theta, \eta) = \zeta$  حيث ان الاعتمادية بالنسبة الى  $\theta$  تكون من خلال  $\mu_t, H_t$  ، وان المحددة  $|H_t|^{-1/2}$  هي عبارة عن المصفوفة المرافقه والتي تنشأ من التحويل من الاخطاء الى المشاهدات ، وانه مالم تكون  $(g)$  من نوع توزيعات بيضاوية الشكل (Elliptical)، اي انها دالة الى  $z_t$  ، فان مقدر ML يعتمد على الاختبار لتحليل المصفوفة  $H_t^{1/2}$  وذلك لأن<sup>[1]</sup>

$$L_T(\zeta) = \sum_{t=1}^T \log f(y_t | \zeta, I_{t-1}) \quad \dots (10)$$

$$f(y_t | \zeta, I_{t-1}) = |H_t|^{-1/2} g(H_t^{-1/2}(y_t - \mu_t) | \eta) \dots (11)$$

$$z_t z_t^\top = (y_t - \mu_t)^\top H_t^{-1} (y_t - \mu_t)$$

معظم التوزيعات المطبقة في البحث هو توزيع متعدد المتغيرات الطبيعي محدد بواسطة اول عزمين (ذلك  $\zeta = \theta$  حيث ان  $\eta$  خالية) ، في هذه الحالة ، فان لوغاريتم الامكان للعينة يصل الى الثبات (Up to Constant)

$$L_T(\theta) = -\frac{1}{2} \sum_{t=1}^T \log |H_t| - \frac{1}{2} \sum_{t=1}^T (y_t - \mu_t)^\top H_t^{-1} (y_t - \mu_t) \quad \dots (12)$$



استخدام نماذج GARCH متعددة المتغيرات من نوع DCC [الارتباط الشرطي الحركي] ونمودج CCC [الارتباط الشرطي الثابت] للتنبؤ بسعر الصرف للدينار العراقي مقابل الدولار

ان فرض التوزيع الطبيعي للأخطاء غير متوفرة في معظم التطبيقات المتعلقة بالبيانات اليومية او الأسبوعية بشكل خاص ، حيث ان التف清淡 (Kurtosis) لأغلب عوائد الأصول المالية هو أكبر من 3 وهذا يعني وجود عدة قيم متطرفة والتي تعني عدم وجود توزيع طبيعي ، اي ان التوزيع غير الشرطي لهذه الأصول غالبا له ذيول اكثرا سعما ، وان حركات التباين الشرطي تكون غير كافية لتماثل تماما التف清淡 الغير شرطي للبيانات ، وان المقدر المتسق Consistent لـ  $\theta$  والذي تم الحصول عليه بواسطة تعظيم المعادلة (12) بالنسبة الى  $\theta$  ويدعى هذا المقدر بدالة امكان ظاهرية طبيعية Gaussian quasi-maximum likelihood (QML) او مقدر الامكان الاعظم الزائف Pseudo-maximum likelihood (PML) وهو متسق بشرط ان الوسط الحسابي الشرطي والتباين الشرطي محددة [1]

ان البديل الطبيعي دالة الكثافة الطبيعية لمتعدد المتغيرات Multivariate Gaussian density هي دالة كثافة Student-t ، Harvey et al (1992) ، Fiorentini et al (2003) ، الاخير له اضافة من المعلم المثبتة من درجات الحرارة ويرمز لها بالرمز  $v$  ، وعندما هذه المعلمة تتجه الى ما لا نهاية فان كثافة توزيع  $t$  تتجه الى كثافة التوزيع الطبيعي ، وعندما تتجه الى الصفر ، فان ذيول دالة الكثافة تصبح (اكثر سعما) ، قيمة المعلمة تؤثر او تدل على الرتبة لوجود العزوم مثل على ذلك if  $v = 2$  (فإن عزوم الرتبة الثانية غير موجودة ولكن عزوم الرتبة الأولى موجودة ، لهذا السبب من الملائم (على الرغم انه غير ضروري) ان نفرض ان  $v > 2$  ، لذلك فان المصفوفة  $H_t$  هي قابلة للتفسير كمصفوفة تباين مشترك شرطي ، تحت هذا الافتراض ، فان كثافة توزيع  $t$  ستعرف كالتالي [12]

$$g(z_t/\theta, v) = \frac{\Gamma\left(\frac{v+N}{2}\right)}{\Gamma\left(\frac{v}{2}\right)[\Pi(v-2)]^{\frac{N}{2}}} \left[1 + \frac{z_t z_t'}{v-2}\right]^{\frac{N+v}{2}} \dots \quad (13)$$

حيث ان  $\Gamma$  هي دالة Gamma ، وفي هذه الحالة فان  $v = N$  ، حيث ان  $N$  هو متوجه لمعالم ضوابط دالة الكثافة  $L_t$  يتم الحصول عليها بسهولة بتطبيق المعادلة (13) . [12]

### احصاء بورتنانتو Portmanteau Statistics

ان التشخيصات المستخدمة بشكل واسع في الكشف عن تأثيرات ARCH هي اختبارات Box ، Hosking (1980) ، Pierce/Ljung-Box Ljung-Box والتي تكون بالشكل الآتي [1]:

$$HM(M) = T^2 \sum_{j=1}^m (T-j)^{-1} \text{tr}\{C_{y_t}^{-1}(0) C_{y_t}(j) C_y^{-1}(0) C_{y_t}'(j)\} \dots \quad (14)$$

حيث  $m$  تمثل عدد الازاحتات ،  $y_t = \text{vech}(y_t y_t')$

حيث ان  $\text{vech}$  هي العملية التي تربّب الأعمدة للمثلث السفلي للمصفوفة المربعة وتحولها الى متوجه اي اذا كانت  $A = (a_{ij})$  فان [1]:

$$\text{vech}(A) = (a_{11}, a_{21}, \dots, a_{m1}, a_{22}, \dots, a_{mm}, \dots, a_{mn})$$

وتحت افتراض فرضية عدم وجود جذور مترافقون المشترك الذاتي للعينة ذات رتبة  $(j)$  هي مصفوفة التباين الشرطي للعينة ذات رتبة  $(j)$  تأثيرات ARCH  $HM(M)$  تتوزع بتوزيع مقارب لـ  $\chi^2(k^2 m)$  [1]

$H_0$ : There isn't Autocorrelation between residuals

$H_1$ : There is an Autocorrelation between residuals

ان رفض فرضية عدم يشير الى وجود ارتباط ذاتي في الباقي غير عشوائية.

وقد عم هذه الاحصاء كل من Duchesne (2003) Lalancette باستخدام التمثيل الطيفي وقد تم الحصول على قوة تقارب عالية باستخدام نواة مختلفة بدلا من اقتطاع نواة منتظمة في  $HM(M)$  هذا الاختبار يستخدم في الكشف عن سوء التقدير في مصفوفة التباين الشرطي  $H_t$  ، وعند استبدال  $y_t$  بواسطة



استخدام نماذج GARCH متعددة المتغيرات من نوع DCC [الارتباط الشرطي الحركي] ونمودج CCC [الارتباط الشرطي الثابت] للتنبؤ بسعر الصرف للدينار العراقي مقابل الدولار

فإن التوزيع سوف يكون مقارب لتوزيع احصاء Portmanteau ولكن هذه الحالة يبقى التوزيع غير معلوماً حيث إن  $\hat{\epsilon}_t = \hat{H}_t^{-1/2} \hat{\eta}_t$  قد تم تقديرها ، نتائج محاكاة سجلت من قبل (1999) Tse ، وقد قدما تشخيص واضح في عدة مواضيع. لقد اقترح كل من (1994) Ling , Li (1994) احصاء Portmanteau لعدم تجانس التباين الشرطي متعدد المتغيرات ، وعرفوا إزاحة العينات-  $h$ - التي (حولت) الارتباط الذاتي للبواقي والتي تأخذ الصيغة الآتية<sup>[1]</sup>:

$$\tilde{R}_{(h)} = \frac{\sum_{t=h+1}^r (\hat{\eta}_t \hat{H}_t^{-1} \hat{\eta}_t - m)(\hat{\eta}_{t-h} \hat{H}_{t-h}^{-1} \hat{\eta}_{t-h} - m)}{\sum_{h+1}^r (\hat{\eta}_t \hat{H}_t^{-1} \hat{\eta}_t - m)^2} \dots \quad (15)$$

ان احصاء الاختبار تأخذ الصيغة الآتية  $(h) LL(M) = T \sum_{h=1}^m \tilde{R}^2$  وتناسبها مقارب الى  $\chi^2_{(m)}$  وتحت افتراض عدم وجود تجانس تباين شرطي .

من نتائج التقارب نستنتج ان التوزيع الطبيعي غير مفترض في عملية الاخطاء ، ان هذه الاحصاءات حصينة وذلك حسب اختيار التوزيع ، (1999) Tsui ، وقد بين الباحثان ان هناك خسارة في المعلومات في تحويل  $\hat{\eta}_t \hat{H}_t^{-1} \hat{\eta}_t$  للبواقي وبالتالي سيقل ذلك من قوة الاختبار ، بالإضافة الى ذلك Duchesne و Lalancette (2003) ناقشا فيما اذا كان اختيار  $m$  غير مناسب فان نتيجة الاختبار ربما تكون غير فعالة . لهذه الاسباب اقترح الباحثان صيغة اكثر قوة لاختبار  $LL(M)$  مستندة على الكثافة الطيفية للعملية التصادفية  $\{ \eta_t H_t^{-1} \eta_t, t \in z \}$  وهي (iid) تحت افتراض عدم التجانس وبما ان الاختبار مستند على مقدر كثافة الطيف ، فإن اختبار البيانات المعتمدة  $L_m$  يكون موجود<sup>[1]</sup>.

### اختبار Engel – Granger للتكامل المشترك

يشير (1998) Engel – Granger الى امكانية توليد نموذج خطى يتصرف بالاستقراريه من سلاسل زمنية غير المستقرة عن طريق تقدير معادلة الانحدار بطريقة المربعات الصغرى تكون فيه عوائد سعر الصرف المتغير المعتمد وعوائد سعر الذهب وعوائد سعر النفط هي المتغيرات التوضيحية<sup>[3]</sup> ،

$$Y_t = a_1 Y_{t-1} + \dots + a_p Y_{t-p} + \varepsilon_t$$

وباختبار البواقي لمعادلة الانحدار فإذا كانت مستقرة دل هذا على وجود تكامل مشترك بين المتغيرات واذا كانت غير مستقرة دل هذا على عدم وجود تكامل مشترك بين المتغيرات<sup>[3]</sup>

Null is no cointegration (residual has unit root)

### 3- التنبؤ

ان نموذجة التنبؤ لتقلب اسعار الصرف واسعار الموارد الاقتصادية بصورة عامة له اهمية كبيرة في الاقتصاد وفي التخطيط وصنع القرار، حيث يعد التنبؤ أحد اهداف السلسلة الزمنية وهو يمثل المرحلة الاخيرة من مراحل تحليل السلسلة الزمنية، وفيما يأتي الصيغة العامة لحساب التنبؤ لنماذج GARCH(p,q)<sup>[6]</sup>

The L step forecast

$$\sigma_t^2(l) = E[\epsilon_{t+l}^2 / \epsilon_t] = \omega + \sum_{i=l}^m (\alpha_i + \beta_i) E(\epsilon_{t+l-i}^2 / \epsilon_t) - \sum_{i=l}^p \beta_i (f_{t+l-i} / \epsilon_t)$$



حيث ان  $(\epsilon_t^2 | \epsilon_{t-l}^2)$  تكون بالشكل الاتي :

$$\begin{cases} E(f_{t+l-i}/\epsilon_t) = 0 & \text{for } i < l \\ E(f_{t+l-i}/\epsilon_t) = f_{t+l-i} & \text{for } i \geq l \end{cases}$$

حيث ان  $P$  : تمثل درجة النموذج

$i$  : تمثل التذيل

$\sigma^2$  : تمثل التوقع الشرطي

### الجانب العملي

تم جمع بيانات حول سعر صرف الدينار العراقي اليومي مقابل الدولار الامريكي وسعر الذهب العالمي اليومي وسعر النفط العالمي اليومي بالدولار الامريكي وللفترة من 1/1/2014 الى 31/12/2015 وتمثل 522 مشاهدة تم جمعها من موقع على الانترنت والبنك المركزي العراقي وهي :

1. اسعار الصرف اليومية للدينار العراقي مقابل الدولار: البنك المركزي العراقي / المديرية العامة للاحصاء والبحوث

2. الأسعار العالمية اليومية للذهب

[www.Kitco.com/script/hist\\_charts/yearly\\_graphs.plx](http://www.Kitco.com/script/hist_charts/yearly_graphs.plx)

[www.opec.org](http://www.opec.org)

3. الاسعار العالمية اليومية للنفط

ونظرا لما تتصف به البيانات المالية من عدم استقرارية فقد تم تحويلها الى سلاسل العوائد للحصول على سلاسل مستقرة، ويعتبر هذا الاجراء هو الاجراء المتبعة ل التعامل مع هكذا نوع من البيانات في جميع البحوث العالمية<sup>(2)</sup> ، وتم احتساب سلسلة العوائد طبقا للمعادلة الآتية<sup>[5]</sup>

$$y_t = \ln(p_t) - \ln(p_{t-1})$$

وقد تم استخدام البرنامج الاحصائي RATS Regressions Analysis of TimeSeries(Estima|USA) في الجانب العملي وهو من البرامج الرائدة في الاقتصاد القياسي وتحليل السلاسل الزمنية

1- تم اجراء اختبار Engle-Granger للتكامل المشترك (Co-integration Test) للسلاسل الزمنية الثلاثة الممثلة بسلسلة سعر الصرف للدينار العراقي مقابل الدولار الامريكي وسعر الذهب بالدولار الامريكي وسعر النفط بالدولار الامريكي وتنص فرضية عدم في هذا الاختبار بعدم وجود تكامل مشترك ، حيث تبين ان القيمة المطلقة لاصحاته الاختبار بلغت 25.0375 وهي اعلى من القيم الاحتمالية لكل مستويات المعنوية الاحصائية هذا يعني رفض فرضية عدم اي ان هناك تكامل مشترك بين سلاسل العوائد الثلاث كما في الجدول (1).

جدول (1) يبين اختبار التكامل المشترك لسلسل العوائد الثلاث سعر الصرف وسعر النفط وسعر الذهب بالدولار الامريكي

Co - integration Test		
مع ثابت واتجاه	مع ثابت	الفرق الاول للباقي
Test Statistic -25.0375** 1%(**) 5%(*) 10%	Test Statistic -24.9743** 1%(**) 5%(*) 10%	-4.7032 -4.1424 -3.8520 -4.3247 -3.7589 -3.4638



استخدام نماذج GARCH متعددة المتغيرات من نوع DCC [الارتباط الشرطي الحركي]  
ومن نوع CCC [الارتباط الشرطي الثابت] للتنبؤ بسعر الصرف للدينار العراقي مقابل الدولار

**Dickey-Fuller Unit Root Test**

الفرق الاول			المستوى			السلسلة الزمنية
بدون ثابت او اتجاه	مع ثابت واتجاه	مع ثابت	بدون ثابت او اتجاه	مع ثابت واتجاه	مع ثابت	
1%(**) - 2.5696	1%(**) - 3.9800	1%(**) - 3.4451	1%(**) - 2.5696	1%(**) - 3.9800	1%(**) - 3.4451	عوائد سعر
5%(*) - 1.9401	5%(*) - 3.4204	5%(*) - 2.8674	5%(*) - 1.9401	5%(*) - 3.4204	5%(*) - 2.8674	الصرف
10% - 1.6159	10% - 3.1326	10% - 2.5699	10% - 1.6159	10% - 3.1326	10% - 2.5699	
T-Statistic - 24.8408**	T-Statistic - 24.8829**	T-Statistic - 24.8525**	T-Statistic - 24.8408**	T-Statistic - 24.8829**	T-Statistic - 24.8525**	
1%(**) - 2.5696	1%(**) - 3.9800	1%(**) - 3.4451	1%(**) - 2.5696	1%(**) - 3.9800	1%(**) - 3.4451	عوائد سعر
5%(*) - 1.9401	5%(*) - 3.4204	5%(*) - 2.8674	5%(*) - 1.9401	5%(*) - 3.4204	5%(*) - 2.8674	الذهب
10% - 1.6159	10% - 3.1326	10% - 2.5699	10% - 1.6159	10% - 3.1326	10% - 2.5699	
T-Statistic - 21.9440**	T-Statistic - 21.9743**	T-Statistic - 21.9390**	T-Statistic - 21.9440**	T-Statistic - 21.9743**	T-Statistic - 21.9390**	
1%(**) - 2.5696	1%(**) - 3.9800	1%(**) - 3.4451	1%(**) - 2.56961	1%(**) - 3.98007	1%(**) - 3.44517	عوائد سعر
5%(*) - 1.9401	5%(*) - 3.4204	5%(*) - 2.8674	5%(*) - 1.94007	5%(*) - 3.42045	5%(*) - 2.86741	النفط
10% - 1.6159	10% - 3.1326	10% - 2.5699	10% - 1.61595	10% - 3.13259	10% - 2.56989	
T-Statistic - 17.0086**	T-Statistic - 14.7089**	T-Statistic - 14.6556**	T-Statistic - 9.23453**	T-Statistic - 9.59850**	T-Statistic - 9.52814**	

الجدول (a) يبين قيمة احصاء الاختبار وتكون اعلى من القيم الاحتمالية لكل مستويات المعنوية الاحصائية عند المستوى وهذا يعني رفض فرضية العدم بوجود جذر وحدة اي ان سلاسل العوائد الزمنية الثلاث مستقرة



**جدول ( 1 - b ) اختبار جذر الوحدة لاستقرارية السلسلة الأصلية باستخدام Dickey-Fuller Unit Root Test**

الفرق الاول			المستوى			السلسلة الزمنية						
بدون ثابت او اتجاه	مع ثابت واتجاه	مع ثابت	بدون ثابت او اتجاه	مع ثابت واتجاه	مع ثابت							
Sig Level 1%(**) 5%(*) 10%	Crit Value - 2.56959 1.94006 1.61595 T-Statistic - 0.90390	Sig Level 1%(**) 5%(*) 10%	Crit Value - 3.97998 3.42040 3.13256 T-Statistic - 1.94219	Sig Level 1%(**) 5%(*) 10%	Crit Value - 3.44510 2.86738 2.56987 T-Statistic - 0.84905	Sig Level 1%(**) 5%(*) 10%	Crit Value - 2.56959 1.94006 1.61595 T-Statistic - 0.90390	Sig Level 1%(**) 5%(*) 10%	Crit Value - 3.97994 3.42039 3.13255 T-Statistic - 2.20435	Sig Level 1%(**) 5%(*) 10%	Crit Value - 3.44508 2.86737 2.56987 T-Statistic - 1.09990	سعر الصرف
Sig Level 1%(**) 5%(*) 10%	Crit Value - 2.56958 1.94006 1.61595 T-Statistic - 0.64842	Sig Level 1%(**) 5%(*) 10%	Crit Value - 3.97994 3.42039 3.13255 T-Statistic - 3.88061*	Sig Level 1%(**) 5%(*) 10%	Crit Value - 3.97998 3.42040 3.13256 T-Statistic - 1.52800	Sig Level 1%(**) 5%(*) 10%	Crit Value - 2.56958 1.94006 1.61595 T-Statistic - 0.64842	Sig Level 1%(**) 5%(*) 10%	Crit Value - 3.97994 3.42039 3.13255 T-Statistic - 3.88061*	Sig Level 1%(**) 5%(*) 10%	Crit Value - 3.44508 2.86737 2.56987 T-Statistic - 0.92856	سعر الذهب
Sig Level 1%(**) 5%(*) 10%	Crit Value - 2.56959 1.94006 1.61595 T-Statistic - 2.60552**	Sig Level 1%(**) 5%(*) 10%	Crit Value - 3.97998 3.42040 3.13256 T-Statistic - 1.52800	Sig Level 1%(**) 5%(*) 10%	Crit Value - 3.44510 2.86738 2.56987 T-Statistic - 0.15905	Sig Level 1%(**) 5%(*) 10%	Crit Value - 2.56961 1.94007 1.61595 T-Statistic - 2.32248*	Sig Level 1%(**) 5%(*) 10%	Crit Value - 3.97998 3.42040 3.13256 T-Statistic - 1.52800	Sig Level 1%(**) 5%(*) 10%	Crit Value - 3.44517 2.86741 2.56989 T-Statistic - 0.05881	سعر النفط

**الجدول ( 1 - b )** يبين ان قيمة احصاء الاختبار هي اقل من القيم الاحتمالية عدا سلسلة سعر الذهب عند المستوى وعند اخذ الفرق الاول (مع ثابت واتجاه) وسلسلة سعر النفط في المستوى والفرق الاول (بدون ثابت واتجاه) لمستويات المعنوية الإحصائية هذا يعني عدم رفض فرضية عدم بوجود جذر وحدة اي ان سلسلة الزمنية الثلاث غير مستقرة عدا هاتين الحالتين



2- تم إيجاد الإحصاءات الوصفية لسلال العوائد الثلاث وكانت كما في الجدول (2)  
جدول رقم (2) يبين الإحصاءات الوصفية لسلال العوائد الثلاث سعر الصرف وسعر النفط وسعر الذهب  
بالدولار الأمريكي

Return Series	SampleMean	Var.	Skewness	Kurtosis
Exchange rats	-0.000156	0.000019	0.336515	6.703682
Gold	-0.000230	0.000070	-0.165097	1.113908
Oil	-0.002373	0.000278	0.524963	3.363977
Return Series	Jarque-Bera	Sign. Level (JB=0)	Standard Error	SE of Sample Mean
Exchange rats	987.282936	0.000000	0.004312	0.000189
Gold	29.358575	0.000000	0.008376	0.000367
Oil	270.106492	0.000000	0.016670	0.000730
Return Series	Min Value	MaxValue		
Exchange rats	-0.0223764947	0.0262792516		
Gold	-0.0319097332	0.0281010226		
Oil	-0.0578402630	0.0722739725		

3- تم إجراء اختبار Multivariate ARCH على سلال العوائد الثلاثة ويبين هذا الاختبار ان سلال العوائد الثلاثة في الجدول (3) تكون قيم الاحصاء عند الإزاحة من 1-12 معنوية وبالتالي يتم رفض فرضية عدم والتي تنص على وجود تجانس في التباين وهذا يعني ان سلال العوائد الثلاث التي تمثل سعر الصرف والذهب والنفط بالدولار الأمريكي غير متجانسة في التباين كما في الجدول (3) أدناه.

جدول (3) يبين اختبار Multivariate ARCH على سلال العوائد الثلاث سعر الصرف للدينار العراقي مقابل الدولار الأمريكي وسعر الذهب بالدولار الأمريكي وسعر النفط بالدولار الأمريكي

Statistic	Degrees	Sign.	Lag
137.44	36	0.00000	1
137.44	36	0.00000	2
137.44	36	0.00000	3
137.12	36	0.00000	4
136.81	36	0.00000	5
136.60	36	0.00000	6
136.40	36	0.00000	7
136.09	36	0.00000	8
135.76	36	0.00000	9
135.33	36	0.00000	10
135.05	36	0.00000	11
134.93	36	0.00000	12



4- تم اجراء اختبار Multivariate Q على البواقي لعوائد سعر الصرف والذهب والنفط بالدولار الأمريكي كما في المعادلة (14) في الجانب النظري وكما في الجدول (4) حيث يبين قيم الاحصاءه في اختبار Multivariate Q ولازاحتات مختلفة من 1-32 والتي تكون غير معنوية وبالتالي يتم قبول فرضية العدم بوجود تجانس في التباين وهذا يعني ان الاخطاء متجانسة في التباين كما في الجدول(4) ادناه.  
جدول (4) يبين اختبار Multivariate Q على البواقي لسلسل عوائد سعر الصرف والذهب والنفط بالدولار الأمريكي.

Multivariate Q	Significance Level as Chi-Squared	Lag
4.55239	0.03287	1
5.28995	0.07101	2
5.37803	0.14612	3
5.40593	0.24812	4
7.47948	0.18735	5
8.06866	0.23312	6
8.48480	0.29179	7
10.41229	0.23727	8
13.32468	0.14846	9
17.10792	0.07201	10
17.17121	0.10291	11
17.18851	0.14264	12
26.55095	0.32582	24
35.66646	0.29994	32

5- تم اجراء اختبار Multivariate ARCH وذلك على سلسل البواقي لنمودج DCC(2,2) وان الجدول (5) يمثل نتائج قيم الاحصاءة في اختبار Multivariate ARCH على سلسل البواقي وفيه تكون غير معنوية عند الازاحة من 1-12 وفيها يتم قبول فرضية العدم بوجود تجانس في التباين اي ان البواقي عشوائية..

جدول (5) يبين اختبار Multivariate ARCH على سلسل البواقي لنمودج DCC(2,2)

Statistic	Degrees	Sign.	Lag
22.31	36	0.96398	1
22.31	36	0.96398	2
22.31	36	0.96398	3
22.43	36	0.96235	4
22.18	36	0.96561	5
22.19	36	0.96546	6
22.25	36	0.96468	7
22.42	36	0.96259	8
22.36	36	0.96327	9
22.31	36	0.96392	10
22.36	36	0.96337	11
22.38	36	0.96303	12



استخدام نماذج GARCH متعددة المتغيرات من نوع DCC [الارتباط الشرطي الحركي]  
ومن نوع CCC [الارتباط الشرطي الثابت] للتنبؤ بسعر الصرف للدينار العراقي مقابل الدولار

- تم اجراء اختبار Multivariate ARCH على سلاسل البوافي لنموذج CCC(2,2) والذي تم اختياره نتيجة لأنه يحمل أقل مجموع مربعات لالأخطاء وان الجدول (6) يمثل نتائج قيم الاحصاءة في اختبار Multivariate ARCH على سلاسل البوافي وفيه تكون غير معنوية عند الازاحة من 1-12 وفيها يتم قبول فرضية عدم وجود تجانس في التباين اي ان البوافي عشوائية.

جدول(6) يبين اختبار Multivariate ARCH على سلاسل البوافي لنموذج CCC(2,2)

Statistic	Degrees	Sign.	Lag
21.94	36	0.96854	1
21.94	36	0.96854	2
21.94	36	0.96854	3
22.03	36	0.96742	4
21.78	36	0.97037	5
21.79	36	0.97027	6
21.85	36	0.96950	7
22.01	36	0.96768	8
21.98	36	0.96808	9
21.93	36	0.96862	10
21.99	36	0.96794	11
22.03	36	0.96749	12

- اختبار LJUNG-BOX : تم اجراء اختبار Ljung-Box لسلاسل البوافي لنموذجي CCC(2,2) و DCC(2,2) و عند الازاحة 12 تكون قيم الاحصاءه غير معنوية وفيها يتم قبول فرضية عدم والتي تنص على عدم وجود ارتباط ذاتي في البوافي جدول (7) ،

جدول(7) يبين اختبار Ljung-Box لسلاسل البوافي لنموذجي CCC(2,2) و DCC(2,2)

Models	Series Residual	Q-Statistic	Sign.	Lags
DCC(2,2)	Exchange rats	13.491	0.334354	12
	Gold	16.764	0.158673	12
	Oil	39.490	0.000087	12
CCC(2,2)	Exchange rats	14.226	0.286541	12
	Gold	17.420	0.134467	12
	Oil	38.982	0.000106	12



استخدام نماذج الـ GARCH متعددة المتغيرات من نوع DCC [الارتباط الشرطي الحركي] ونمودج CCC [الارتباط الشرطي الثابت] للتنبؤ بسعر الصرف للدينار العراقي مقابل الدولار

8- تم تطبيق اختبار Ljung-Box لسلسل مربعات الباقي لنموذج (2,2) CCC و (2,2) DCC والتي تكون فيه قيم الاحصاء غير معنوية وفيها يتم قبول فرضية عدم والتى تنص على عدم وجود ارتباط ذاتي في مربعات الباقي كما في الجدول (8).

جدول(8) يبين اختبار Ljung-Box لسلسل مربعات الباقي لنموذج (2,2) CCC و (2,2) DCC

Models	Squared Series Residual	Q-Statistic	Sign. Level	Lags
DCC(2,2)	Exchange rats	2.640	0.997595	12
	Gold	9.174	0.688019	12
	Oil	9.107	0.693783	12
CCC(2,2)	Exchange rats	4.927	0.960365	12
	Gold	9.351	0.672709	12
	Oil	8.880	0.713182	12

جدول(9) يبين قيم المعيارين MSE و MAE لسلسل الباقي لنموذج (2,2) CCC و (2,2) DCC

Models	Series	MSE	MAE
DCC(2,2)	Exchange rats	.9973182010	.6883461859
	Gold	1.001521067	.7661308267
	Oil	.9564404919	.7287354381
CCC(2,2)	Exchange rats	.978997829	.6870264553
	Gold	.9977466296	.7625644780
	Oil	.9554153338	.7261402346

جدول (10) يبين قيم المعيارين MSE و MAE لسلسل الباقي المتنبئ بها لنموذج (2,2) CCC(2,2)

Models	Series	MSE	MAE
CCC(2,2)	Exchange rats	.538185305986	.342074697580
	Gold	1.226131623794	.844254892830
	Oil	1.003672708041	.765867088360
DCC(2,2)	Exchange rats	.511053521514	.333944751310
	Gold	1.226661148036	.848603036040
	Oil	1.013835856826	.775203147810

10- الجدول (9) يبين قيمة MSE ، حيث ان له اقل قيمة عند نموذج CCC(2,2) في السلسلة الثالث وهذا الذي يميز نموذج CCC(2,2) عن نموذج DCC(2,2). اما للسلسل المتنبئ بها الجدول (10) فأن نموذج CCC(2,2) يزيد بفارق بسيط عن نموذج DCC(2,2) بالنسبة لسلسلة سعر الصرف



استخدام نماذج GARCH متعددة المتغيرات من نوع DCC [الارتباط الشرطي الحركي]  
ومن نوع CCC [الارتباط الشرطي الثابت] للتنبؤ بسعر الصرف للدينار العراقي مقابل الدولار

جدول(11) بين تدبير معلم نموذج CCC(2,2)

Variable	Coeff	.Std. Error	T-Stat	Sign.
1. Mean(EXCHANG RATS)	-0.000277151	0.000167952	-1.65018	0.09890574
2. Mean(GOLD)	-0.000239458	0.000347789	-0.68852	0.49112770
3. Mean(OIL)	-0.001045716	0.000497930	-2.10013	0.03571774
4. C(1)	0.000012505	0.000002412	5.18433	0.00000022
5. C(2)	0.000034509	0.000002157	16.00049	0.00000000
6. C(3)	0.000000264	0.000001279	0.20676	0.83619481
7. A{1}(1)	0.409437942	0.023571219	17.37025	0.00000000
8. A{1}(2)	0.030817777	0.016354304	1.88438	0.05951315
9. A{1}(3)	0.220284533	0.065141035	3.38166	0.00072050
10. A{2}(1)	0.352384909	0.029189404	12.07236	0.00000000
11. A{2}(2)	-0.009176535	0.014890322	-0.61628	0.53771298
12. A{2}(3)	-0.177791713	0.177742299	-1.00028	0.31717599
13. B{1}(1)	-0.595531244	0.073809869	-8.06845	0.00000000
14. B{1}(2)	1.464210944	0.017415130	84.07694	0.00000000
15. B{1}(3)	1.362795053	1.926778128	0.70729	0.47938494
16. B{2}(1)	0.302282509	0.022883405	13.20968	0.00000000
17. B{2}(2)	-0.975028610	0.019592319	-49.76586	0.00000000
18. B{2}(3)	-0.400871797	1.784251072	-0.22467	0.82223421
19. R(2,1)	0.021632184	0.042390478	0.51031	0.60983596
20. R(3,1)	-0.056427299	0.041684969	-1.35366	0.17584469
21. R(3,2)	-0.041310571	0.045009664	-0.91782	0.35871542

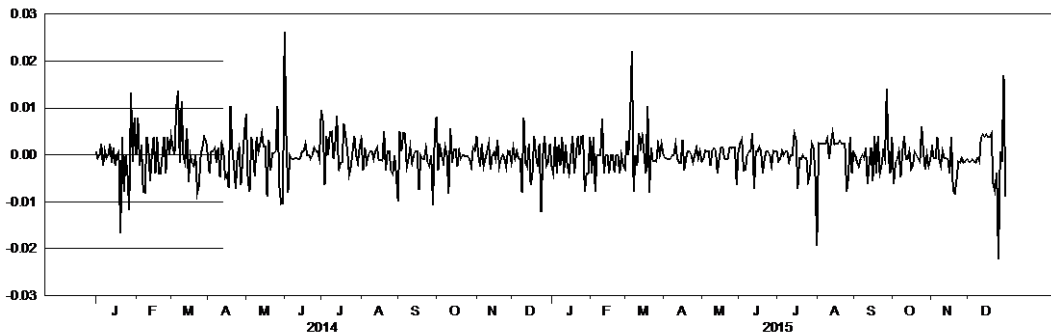
جدول(12) بين تدبير معلم نموذج DCC(2,2)

Variable	Coeff.	Std. Error	T-Stat	Sign.
1. Mean(EXCHANG RATS)	-0.000188787	0.000160137	-1.17891	0.23843323
2. Mean(GOLD)	-0.000242015	0.000369621	-0.65476	0.51261950
3. Mean(OIL)	-0.001144215	0.000441134	-2.59380	0.00949211
4. C(1)	0.000005353	0.000001968	2.72058	0.00651671
5. C(2)	0.000034508	0.000002183	15.80675	0.00000000
6. C(3)	0.000000186	0.000000194	0.96004	0.33703573
7. A{1}(1)	0.444055827	0.085584156	5.18853	0.00000021
8. A{1}(2)	0.031317080	0.016393980	1.91028	0.05609726
9. A{1}(3)	0.215031018	0.061706842	3.48472	0.00049265
10. A{2}(1)	-0.016687377	0.119832390	-0.13926	0.88924787
11. A{2}(2)	-0.009185517	0.014682431	-0.62561	0.53156892
12. A{2}(3)	-0.183901138	0.060237799	-3.05292	0.00226627
13. B{1}(1)	0.125992204	0.249424611	0.50513	0.61346655
14. B{1}(2)	1.464358174	0.018235191	80.30397	0.00000000
15. B{1}(3)	1.459603272	0.189696469	7.69441	0.00000000
16. B{2}(1)	0.230217363	0.103614721	2.22186	0.02629279
17. B{2}(2)	-0.975759194	0.020577728	-47.41822	0.00000000
18. B{2}(3)	-0.487611861	0.175397478	-2.78004	0.00543523
19. DCC(A)	0.014442277	0.019583198	0.73748	0.46082863
20. DCC(B)	0.764884730	0.283872054	2.69447	0.00705007

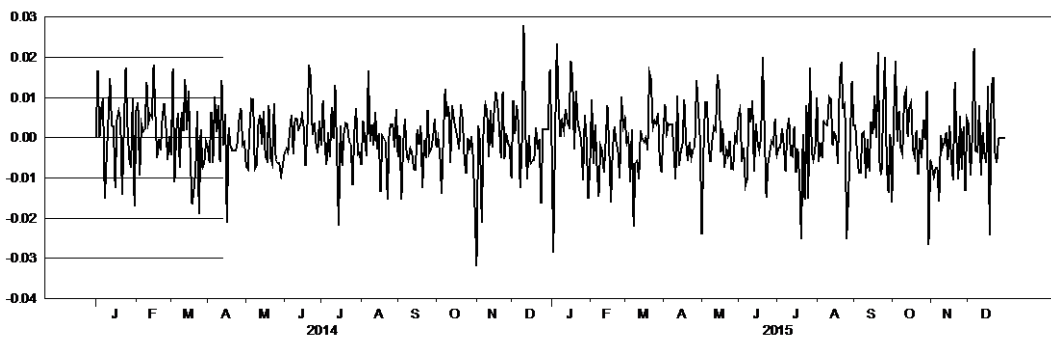


استخدام نماذج GARCH متعددة المتغيرات من نوع DCC [الارتباط الشرطي الحركي]  
ومن نوع CCC [الارتباط الشرطي الثابت] للتنبؤ بسعر الصرف للدينار العراقي مقابل الدولار

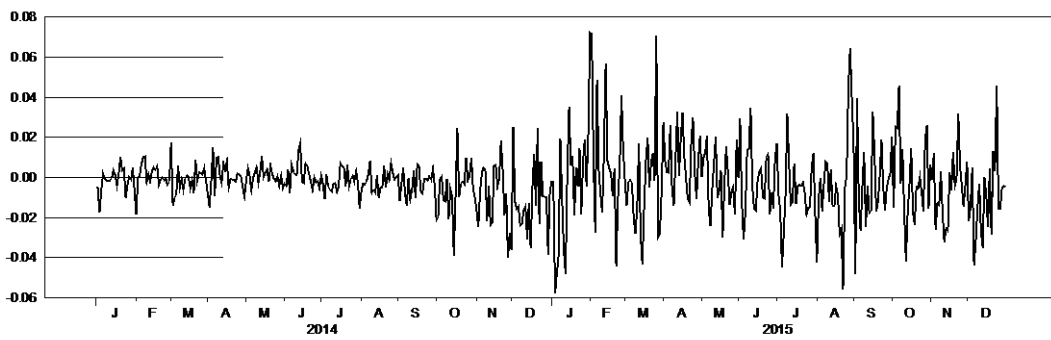
الشكل (1-3) يبين سلسلة عوائد سعر صرف الدينار العراقي



الشكل (2-3) يبين سلسلة عوائد سعر الذهب



الشكل (3-3) يبين سلسلة عوائد سعر النفط

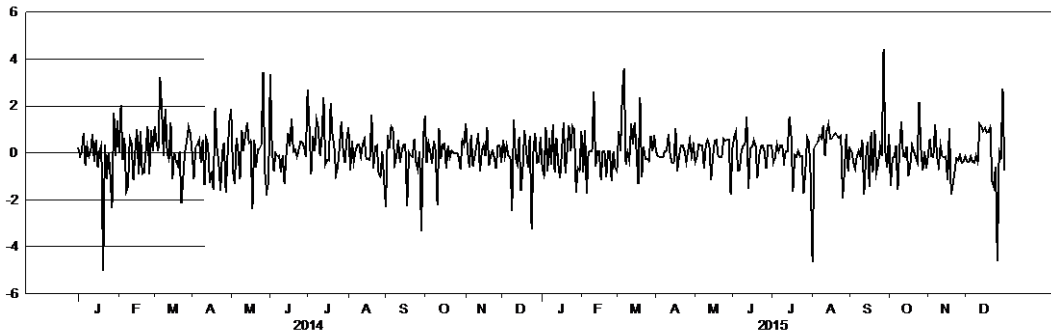


الاشكال (1-3)، (2-3)، (3-3) تبيّن سلاسل العوائد للفترة من 1/1/2014- 1/1/2016 حسب الايام والذي يمثّلها المحور السيني وعوائد الاسعار ويمثلها المحور الصادي حيث ان الشكل (1-3) يبيّن سلسلة سعر الصرف وعوائد سعر الذهب الشكل (2-3) اكثـر تقلب من سلسلة عوائد سعر النفط الشكل (3-3) في سنة 2014، وفي الربع الاخير من سنة 2014 وحتى نهاية سنة 2015 يكون التقلب مرتفع في سلسلة عوائد سعر النفط عما هو عليه في سلسلة عوائد سعر الصرف وسعر الذهب وهذا بسبب الانخفاض السريع في اسعار النفط.

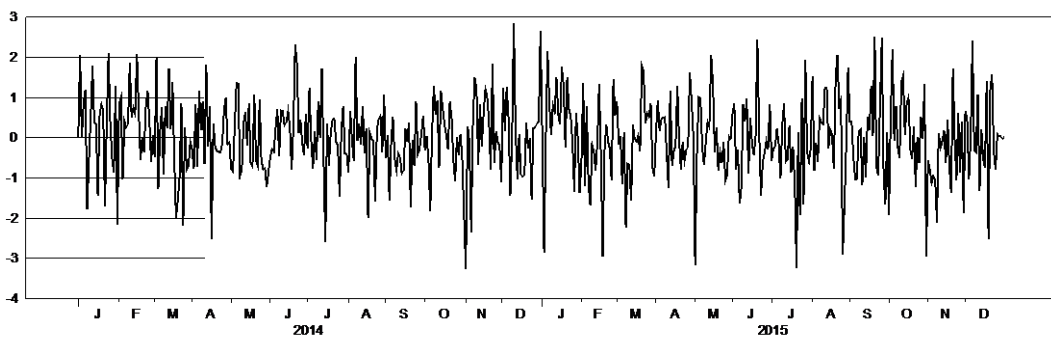


استخدام نماذج GARCH متعددة المتغيرات من نوع DCC [الارتباط الشرطي الحركي]  
ومن نوع CCC [الارتباط الشرطي الثابت] للتنبؤ بسعر الصرف للدينار العراقي مقابل الدولار

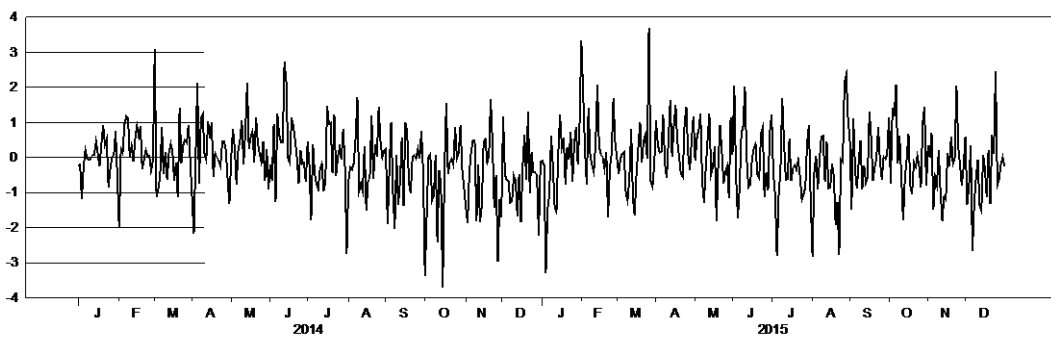
الشكل(3-4) يبين سلسلة الباقي المعياري لعوائد سعر صرف الدينار العراقي نموذج (2,2) CCC



الشكل(3-5) يبين سلسلة الباقي المعياري لعوائد سعر الذهب نموذج (2,2) CCC



الشكل (3-6) يبين سلسلة الباقي المعياري لعوائد سعر النفط نموذج (2,2) CCC

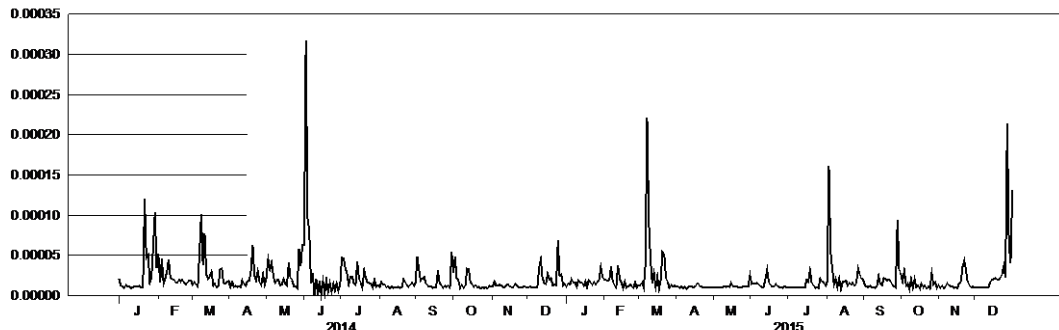


الاشكال (4-3)، (5-3)، (6) تبين سلاسل الباقي لـ عوائد الثلاث للفترة 2014/1/1 - 2016/1/1 حسب الايام والذي يمثلها المحور السيني ومقدار الباقي والذي يمثلها المحور الصادي ، حيث ان الشكل (3-4) يبين سلسلة الباقي المعياري لعوائد سعر صرف الدينار العراقي نموذج (2,2) CCC حيث تكون هناك تقلبات في فترات على مدى السننين، والشكل (5-3)، (6) يبين سلسلة الباقي المعياري لعوائد سعر الذهب وسعر النفط على التوالي نموذج (2,2) CCC ويظهر فيه التقلب مرتفع على مدى السننين

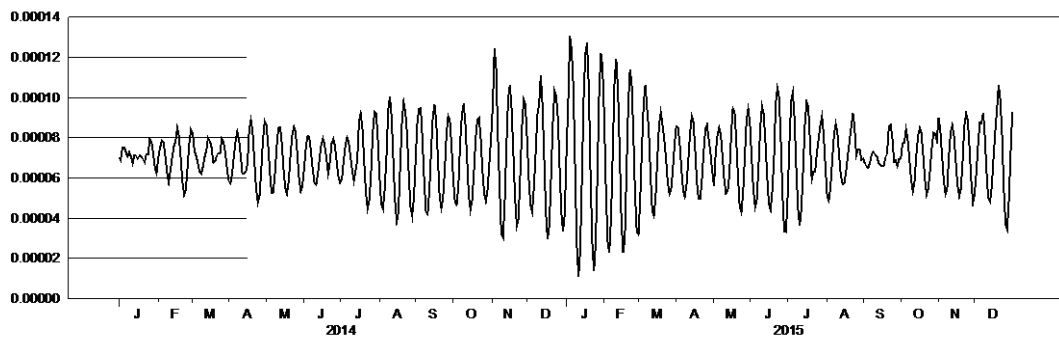


استخدام نماذج GARCH متعددة المتغيرات من نوع DCC [الارتباط الشرطي الحركي]  
ومن نوع CCC [الارتباط الشرطي الثابت] للتنبؤ بسعر الصرف للدينار العراقي مقابل الدولار

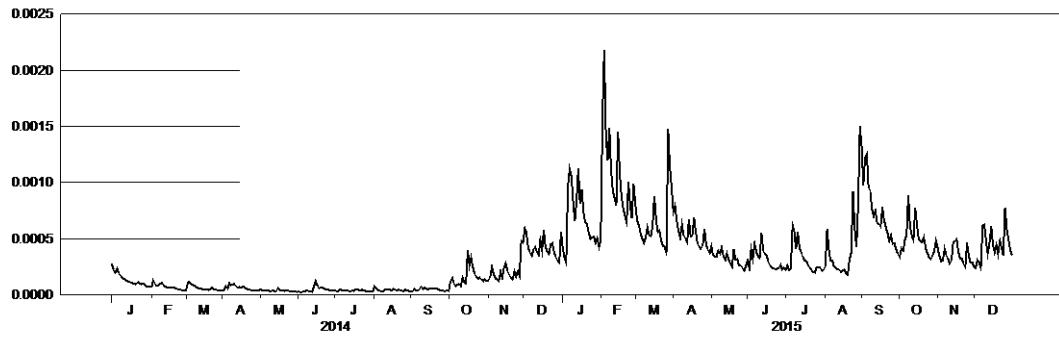
الشكل (7-3) يبين التباين الشرطي المقدر لعوائد سعر صرف الدينار العراقي نموذج CCC(2,2)



الشكل (8-3) يبين التباين الشرطي المقدر لعوائد سعر الذهب نموذج CCC(2,2)



الشكل (9-3) يبين التباين الشرطي المقدر لعوائد سعر النفط نموذج CCC(2,2)

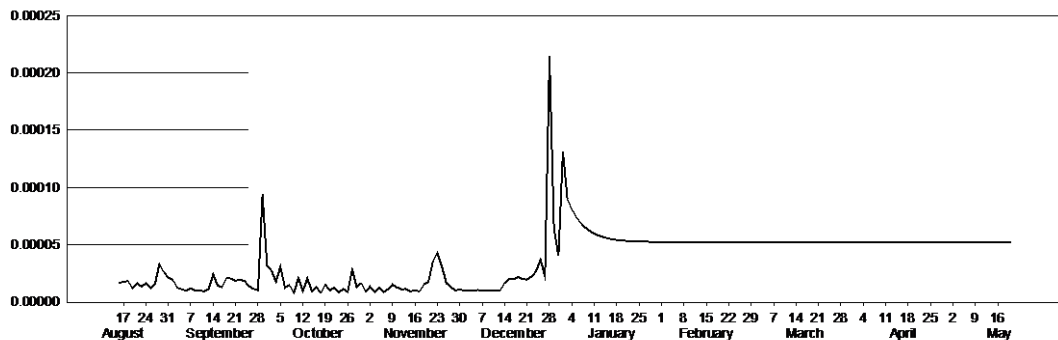


الاشكال (7-3)، (8-3)، (9-3) تبين سلسلة التباين الشرطي لعوائد الثلاث للفترة 2014/1/1 - 2016/1/1، حسب الايام والذي يمثلها المحور السيني ومقدار التقلبات والذي يمثلها المحور الصادي ، حيث ان الشكل (7) يبين التباين الشرطي المقدر لعوائد سعر الصرف حيث ان هناك تقلبات مرتفعة في النصف الاول من سنة 2014 وفي بداية والنصف الاخير من سنة 2015 والتباين الشرطي المقدر لعوائد سعر الذهب الشكل (8-3) حيث تظهر فيه التقلبات وتكون مرتفعة في بداية سنة 2015 وتنخفض قليلا الى نهاية السنة اما التقلبات في عوائد سعر النفط الشكل (9-3) فتبدأ في الرابع الاخير من سنة 2014 ثم ترتفع لتبلغ اعلى ارتفاع لها في بداية 2015.

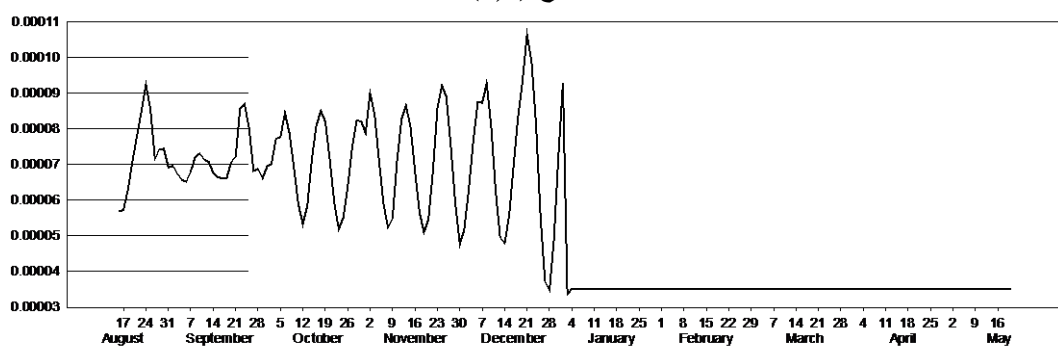


استخدام نماذج GARCH متعددة المتغيرات من نوع DCC [الارتباط الشرطي الحركي]  
ومن نوع CCC [الارتباط الشرطي الثابت] للتنبؤ بسعر الصرف للدينار العراقي مقابل الدولار

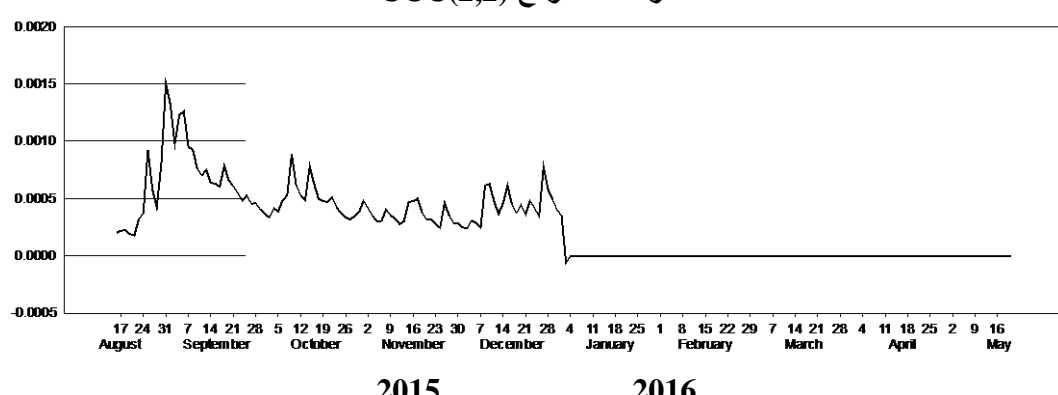
الشكل(10-3) يبين سلسلة التنبؤ بالبيان الشرطي واخر 100 قيمة مقدرة للبيان الشرطي لسلسلة عوائد سعر  
الصرف نموذج CCC(2,2)



الشكل(11-3) يبين سلسلة التنبؤ بالبيان الشرطي واخر 100 قيمة مقدرة للبيان الشرطي لسلسلة عوائد سعر  
الذهب نموذج CCC(2,2)



الشكل (12-3) يبين سلسلة التنبؤ بالبيان الشرطي واخر 100 قيمة مقدرة للبيان الشرطي لسلسلة عوائد  
سعر النفط نموذج CCC(2,2)





## استخدام نماذج MGARCH متعددة المتغيرات من نوع DCC [الارتباط الشرطي الحركي] ونمودج CCC [الارتباط الشرطي الثابت] للتنبؤ بسعر الصرف للدينار العراقي مقابل الدولار

الشكل (10-3) يبين التنبؤ بالبيان لعوائد سعر الصرف والشكل (11-3) يبين التنبؤ بالبيان لعوائد سعر الذهب والشكل (12-3) يبين التنبؤ بالبيان لعوائد سعر النفط حيث تم الاعتماد على 100 قيمة مقدرة للبيان سلسل العوائد الثلاث تبدأ من شهر 8 وتنتهي في شهر 12 لسنة 2015 للتنبؤ بـ 100 قيمة للبيان تبدأ من شهر 1 وتنتهي بشهر 5 لسنة 2016 واظهرت النتائج للعوائد الثلاث ان هناك ثبات في تجانس البيانات للعوائد الثلاث .

### تحليل النتائج

تمت المقارنة بين تقدير نموذج (2,2) CCC ونموذج (2,2) DCC على اساس المعيارين ، متوسط مطلق الخطأ ، MAE و متوسط مربعات الخطأ MSE وتبين ان قيمة MSE لنموذج CCC(2,2) هي 978997829 (9.9977466296) لعوائد سعر صرف الدينار العراقي و لعوائد سعر الذهب (9.9554153338) لعوائد سعر النفط وهي اقل من قيمته لنموذج DCC(2,2) حيث بلغت 6.6870264553 (1.001521067) لعوائد سعر الذهب (0.9973182010) لعوائد سعر صرف الدينار العراقي و (0.9564404919) لعوائد سعر النفط . وان قيمة MAE لنموذج CCC هي (0.7261402346) لعوائد سعر الذهب و (0.6883461859) لعوائد سعر الصرف و (0.7661308267) لعوائد سعر الذهب و (0.7287354381) لعوائد سعر النفط .. وقد تم التنبؤ (out of sample) بـ (100) قيمة للبيان الشرطي تبدأ من شهر الاول 2016 الى منتصف شهر الخامس لنفس السنة وهو تنبؤ خارج العينة (sample) حيث بلغت قيمته لنموذج DCC(2,2) 5.11053521514 ، وهي اقل من قيمته بفارق بسيط في نموذج CCC(2,2) حيث بلغت (0.538185305986) لنفس السلسلة.

### الاستنتاجات

- ان نموذج CCC محدد بقيدين الاول هو غير ثابت بالتجميع والثاني الطبيعة الاعتباطية لافتراض الارتباط الشرطي الثابتة.
- ان نموذج DCC يكون ذو عدد معالم اكبر من نموذج CCC
- نستنتج ان نموذج CCC هو افضل من نموذج DCC حيث من المقارنة بين النموذجين باستخدام المعيارين MSE و MAE تبين ان نموذج CCC هو الافضل في التقدير
- ان نموذج DCC ليس له اسلوب استقرائي للتنبؤ بالبيان والبيان المشترك حسب ما توصل اليه الباحث واكدت عليه الجهة المصممة لبرنامج Estima | USA | RATS Support technical بعد الاستفسار من قبل الباحث.

### التوصيات

- نوصي بإجراء مقارنات بين نماذج MGARCH لغرض الحصول على افضل نموذج تنبؤ
- نوصي باستخدام نموذج CCC حيث ان له القدرة على احتواء تقلبات سلسل العوائد الثلاث وفي التنبؤ بسعر الصرف للدينار العراقي مقابل الدولار الامريكي
- نوصي باستخدام نموذج DCC في التنبؤ من قبل الباحثين ومحاولة تطوير اسلوب استقرائي لغرض التنبؤ بالبيان والبيان المشترك.



### المصادر

- 1- LUC BAUWENS , SEBASTIEN LAURENT AND JEROEN V.K ROMBOUTS " Multivariate GARCH Models : A Survey " *Journal of applied Econometrics . J .Appl . Econ* 21 : 79 - 109 (2006) .
- 2- CHRISTION FRANCQ AND JEAN – MICHEL ZAKOIAN. " GARCH Models: Structure, Statistical Inference and Financial Application"2010 John Wiley and Sons, Ltd.
- 3 - Christian Francq, Lajos Horvath, Jean – Michel Zakoian "Variance Targeting Estimation of Multivariate GARCH Modes" *Journal of Financial Econometrics*, (2014).
- 4-Albert K.C TSUI,YiuKuen TSE "Amultivariate generalized autoregressive Conditional heteroscedasticity model with time varying correlation "*Journal of Business and Economic Statistics* 20.3(Jul 2002): 351-362 .
- 5- Thomas A.Doan , RATS Handbook for ARCH/GARCH and Volatility Models, Estima, June 1, 2014
- 6- Mustafa Murat Kubilay " The Volatility Spillover Among A Country's Foreign exchange, Bound and Stock Markets Amultivariate GARCH analysis "Master Thesis, The Grauate School of Applied Mathematics of Middle East Technical University, (2012).
- 7-Edward Ngailo1, Eliab Luvanda2, Estomih S. Massawe3"Time Series Modelling with Application toTanzania Inflation" *Journal of Data Analysis and Information Processing*, 2014, 2, 49-59
- 8 – BC.MarekKlaus"Multivariate Dependence Modeling using Copulas" Master Thesis Charles University in Prague , Faculty of Social Scienes Institute of Economic Studies, (2012).
- 9- Matthias Raddant , Friedrich Wagner " Multivariate GARCH for a large number of stocks "Cornell University Library , (2016) .
- 10- Engle R.F. and C.W.J Granger (1987) , co-integration and error correction : Representation ,Estimation and testing ,*Econometrica* , Vol :55 , pp.251-276 .
- 11- Hafner, C. M. and Franses, P. H. (2009)," AGeneralized Dynamic Conditional CorrlationModel : Simulation and Application to many Assets", *Econometric Reviews* , Vol. 28, No. 6, PP. 612 – 631 .
- 12- Dhaene, G. and Wu, J. (2016). "Mixed–Frequency Multivariate GARCH", Faculty of Economics and Business



## Using Multivariate GARCH Models CCC (Constant Conditional Correlation) and DCC(Dynamic Conditional Correlation) To Forecast Iraqi Dinar Exchange Rate in Dollar

### Abstract

Multivariate GARCH Models take several forms , the most important DCC dynamic conditional correlation, and CCC constant conditional correlation , The Purpose of this research is the Comparison for both Models.Using three financial time series which is a series of daily Iraqi dinar exchange rate in dollar, Global daily Oil price in dollar and Global daily gold price in dollarfor the period from 01/01/2014 till 01/01/2016, Where it has been transferred to the three time series returns to get the Stationarity, some tests were conducted including Ljung-Box , JarqueBera , Multivariate ARCH to Returns Series and Residuals Series for both models In Comparison with the estimation and forecasting based on criteria ,MAE,MSE , mean absolute error and mean Square error , respectively Compared to the Suitability of these two models of the nature of the data and the ability to Capture the volatility. We concluded that CCC is better than DCC

**Keywords:** Multivariate GARCH Models , DCC Model, Dynamic Conditional Correlation , CCC Constant Conditional Correlation Model.